

Внутренний враг не пройдет, или как повысить надежность паяных соединений

А. Гаранин¹, А. Маурин²

УДК 621.791.3 | ВАК 05.27.06

Скрытые дефекты, возникающие в процессе производства печатных плат, могут стать причиной преждевременного выхода из строя аппаратуры. Качество паяных соединений во многом определяет надежность электронного оборудования, работающего в условиях воздействия неблагоприятных факторов внешней среды. Одним из самых распространенных видов дефектов в паяных соединениях являются пустоты, представляющие собой микроскопические пузырьки воздуха, которые появляются при оплавлении печатных плат. В статье рассмотрены эффективные методы обнаружения скрытых пустот в припое и показано, как с помощью вакуумного модуля, встраиваемого в печь оплавления, можно существенно улучшить качество паяных соединений.

Электронные устройства, эксплуатируемые в тяжелых условиях, необходимо защищать от вредных воздействий внешней среды, ведь нельзя представить себе печатную плату, открытую всем ветрам и ударам стихии, будь то Арктика или пустыня, соленое море или горный перевал. Даже в спокойном и сугубо мирном городском пейзаже электронный модуль зачастую трудится в непрерывном стрессе, если находится в составе телекоммуникационного или силового оборудования. Предположим, что мы добились надежной внешней защиты нашего устройства. Но не только извне может угрожать опасность.

Отказ настигнет, казалось бы, защищенное изделие внезапно и в самый неподходящий момент, когда нагрузка и необходимость бесперебойной работы будут особенно велики. Там, где прибор встретится с частыми перепадами температур, ускорений, вибраций, обязательно проявятся, скрытые до времени, дефекты паяных соединений. Разрыв цепи, выход из строя и... Останется лишь надеяться, что такой дефект не приведет к аварии или катастрофе (рис. 1). К сожалению, продолжают множиться печальные вести о внезапных отказах электронного оборудования.

В результате, если речь идет об ответственных применениях изделий, связанных с выполнением важных задач, гражданских или военных, подобную угрозу нельзя считать несущественной.

Причина недостаточной прочности контактов и проблем с качеством зачастую заключается в том, что в паяном соединении одного или нескольких элементов образуются микроскопические пузырьки воздуха, которые невозможно обнаружить стандартными способами проверки. Добиться того, чтобы такие пустоты не появлялись в процессе оплавления довольно сложно. Да, опытный технолог, затратив массу драгоценного времени, сможет отрегулировать процесс производства так, чтобы результат был близок к идеалу. Беда в том, что этот результат не будет устойчив, ведь поверхностный



Рис. 1. Последствия брака пайки

¹ ООО «Новые технологии», технический директор, garanin@nt-smt.ru.

² ООО «Новые технологии», коммерческий директор, maurin@nt-smt.ru.

монтаж становится местом встречи многих предшествующих операций, каждая из которых, скорее всего, находится вне пределов контроля вашего предприятия. При входной проверке можно обнаружить только самые грубые нарушения качества поступающих плат, комплектующих и паяльной пасты, а взаимное влияние небольших отклонений, которые всегда вероятны, выявить не так просто. Построение же процедур входного контроля может быть чрезвычайно трудоемкой задачей (рис. 2) [1].

Могут оказаться неэффективными также вибрационные и климатические испытания, на которые многие возлагают большие надежды. Эти проверки делаются изредка, а то и одноразово, чтобы подтвердить качество «образцового экземпляра». Если же вас серьезно беспокоит качество всех будущих изделий, выполненных по технологии поверхностного монтажа, придется найти более надежный способ защиты.

Прежде всего, следует выбрать метод контроля, который однозначно определит состояние внутренней структуры паяного соединения. Тут не справляется ни визуальный, ни автоматизированный оптический контроль, ни даже тестирование на стенде, ведь засевший внутри соединения пузырек воздуха может и не оказаться значимого влияния на электрические характеристики.

Каким же образом можно проверить качество монтажа компонентов на печатную плату? Особенно тех компонентов, выводы и теплоотводы которых скрыты от взгляда пытливого инженера? Например, микросхем в корпусах BGA и QFN?

В соответствии с отечественными стандартами в паяном соединении пустот не должно быть более 25% от общего объема паяного соединения [2]. Иначе существенно усиливается их пагубное влияние, как было определено при проведении серий испытаний методами термоциклирования и термоударов [3]. Если более пристально рассмотреть места локализации пустот внутри шариковых контактов, то самым опасным является расположение пустот в местах соединения шарикового контакта и площадки печатной платы. Стандарт IPC 7095 говорит, что в этом случае общий диаметр пустот не должен превышать 20% от диаметра шарикового контакта при оценке по самому строгому классу III [4].

Изучив стандарт, мы узнаем, что номинальный диаметр контакта для самого миниатюрного компонента составляет 150 мкм [5]. Это значит, что современная система рентгеновского контроля с микрофокусным источником справится с задачей контроля качества оплавления самых миниатюрных компонентов.

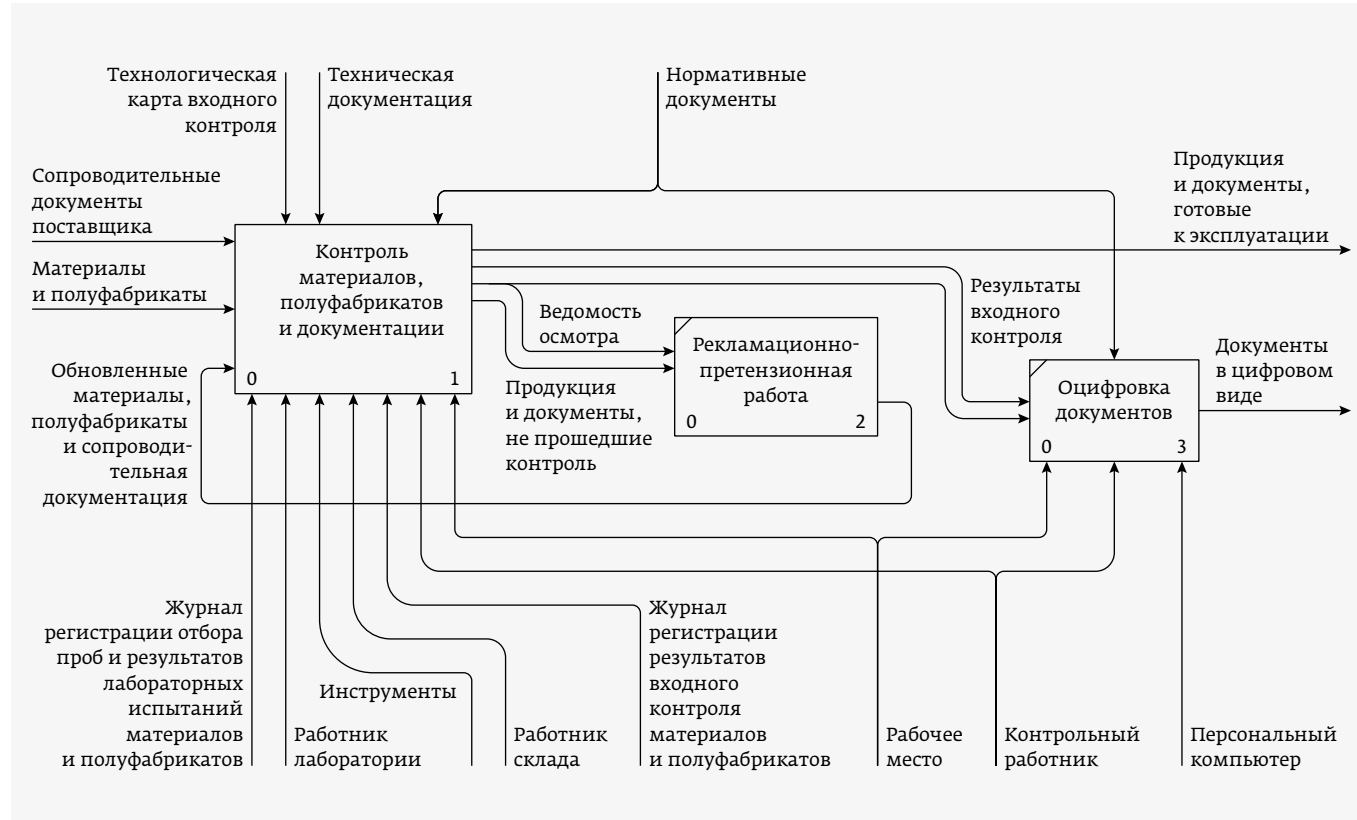


Рис. 2. Функциональная модель процедуры входного контроля



Рис. 3. Установка рентгеноскопического контроля Seemark ZM-X6600BM

Примером такой установки является система рентгеновского контроля Seemark ZM-X6600BM, оснащенная закрытым источником излучения (рис. 3).

Следует отметить, что для контроля качества оплавления припоя в условиях производства чаще всего нет необходимости использовать дорогостоящие лабораторные рентгеновские установки с субмикронным разрешением, которые отличаются высокими требованиями к техническому обслуживанию.

Давайте посмотрим, как выглядят на рентгеновском снимке те пустоты в паяном соединении, о которых идет речь (рис. 4). С помощью недорогого и простого в использовании рентгеновского аппарата можно увидеть светлые

пятна то там, то здесь, россыпь «пузырьков шампанского», прозрачные области внутри выводов BGA-микросхем (рис. 5). Это и есть следы «пустотного диверсанта», которого нам предстоит найти и обезвредить.

Каким образом можно оценить деградацию механической прочности соединения, выявить ухудшение его электрических и тепловых характеристик? Представьте себе, что может наделать такая пустота в припое в ходе эксплуатации изделия, оказавшись под теплоотводом QFN-элемента, внутри паяного соединения вывода BGA или в соединении, являющемся частью СВЧ-тракта? Да и в любом месте электрической цепи такой «гость» – совсем не подарок.

Что же делать, когда выявлены признаки недостаточного качества пайки? Можно ввести тотальный контроль за качеством финишного покрытия контактных площадок, ужесточить правила хранения плат и компонентов. Можно закупить целый комплекс оборудования, позволяющего проверять паяемость компонентов, контролировать равномерность и форму нанесения паяльной пасты. При этом можно потерять много времени, нарушить процессы производства, а деньги могут оказаться выброшенными на ветер. Существует более эффективный способ защиты, который к тому же во многом снижает беспокойство, причиняемое неидеальной комплектацией и расходными материалами. Суть метода такова: позволим пустотам образовываться при печати паяльной пасты в установке, но запретим им оставаться в паяном соединении в печи оплавления. Принцип, который здесь применяется, основан на том, что каждая такая пустота исходно это пузырек воздуха, который и сам стремится вырваться за пределы соединения вывода элемента и контактной площадки.

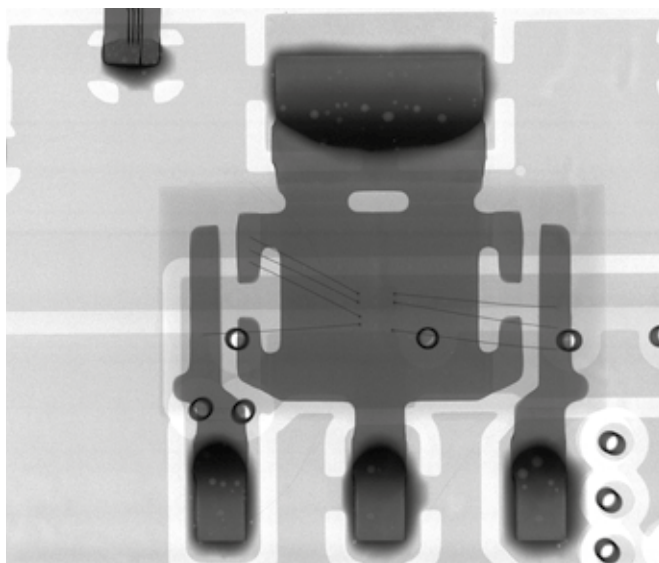


Рис. 4. Пустоты в паяных соединениях

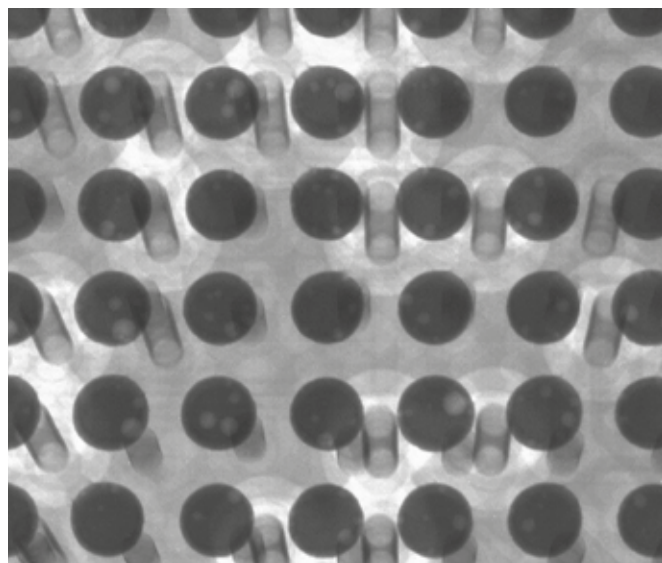


Рис. 5. Пустоты в контактах корпуса BGA



Рис. 6. Печь SMT с вакуумным модулем

Пузырьку надо лишь помочь в таком полезном стремлении, для чего существует... вакуум. Действительно, чем больше перепад давлений в самом пузырьке и в окружающем оплавляемую печатную плату пространстве, тем быстрее и надежнее будет процесс очистки расплавленного припоя от газовых примесей. В результате мы получим прочные, монолитные контакты, готовые противостоять всем нагрузкам. Но как обеспечить такой полезный вакуум в конвейерной печи? Есть простое и изящное решение: в некоторых печах предусмотрена возможность встраивания вакуумного модуля, который не только значительно улучшает качество пайки, но и может способствовать увеличению пропускной способности линии в целом (рис. 6).

Еще совсем недавно вакуумная технология была доступна лишь крупным международным корпорациям, производителям автомобильной электроники и специализированного оборудования. Но уже сегодня российские производители имеют возможность

реализовать эту эффективную технологию на своих предприятиях. Пример такого внедрения приведен в статье [6], где подробно описан процесс интеграции печи оплавления с вакуумным модулем на новом предприятии в Санкт-Петербурге.

Еще раз взглянем на результат оплавления с помощью рентгеновской системы. Итак, сочетание простой и быстрой рентгеновской проверки с пайкой при пониженном давлении даст нам искомую надежность контактов. Смотрите, пузырьки покинули соединения, а значит цель, которой мы добивались, достигнута (рис. 7).

Хотите надежно защитить свои изделия от преждевременного отказа?

ЛИТЕРАТУРА

1. **Зеленков Д. В., Похомчикова Е. О.** Исследование вариантов реализации мобильного рабочего места работника входного контроля Иркутского авиационного завода // Научно-образовательный журнал для студентов и преподавателей «StudNet». 2022. № 6.
2. ГОСТ Р 56427-2022. Пайка электронных модулей радиоэлектронных средств. Автоматизированный смешанный и поверхностный монтаж с применением бессвинцовой и традиционной технологии. Требования к технологии сборки и монтажа. 2022.
3. **Ribas M., Sarkar S., Bilgrien C.** Effect of voids on thermo-mechanical reliability of solder joints // Proceedings of SMTA International. Rosemont, IL, USA. Sep. 17–21, 2017. PP. 667–673.
4. **Previti M. A., Holtzer M., Hunsinger T.** Four ways to reduce voids in BGA/CSP package to substrate connections // Cookson Electronics. 2010.
5. ГОСТ IEC 61188-5-8-2013. Межгосударственный стандарт. Печатные платы и печатные узлы. Проектирование и применение. Часть 5–8. Общие требования. Анализ соединений (посадочные места для монтажа компонентов). 2014.
6. Фантастическая технология для тех, кто не верит в сказки // ЭЛЕКТРОНИКА: Наука, Технология, Бизнес. 2021. № 9. С. 56–61.

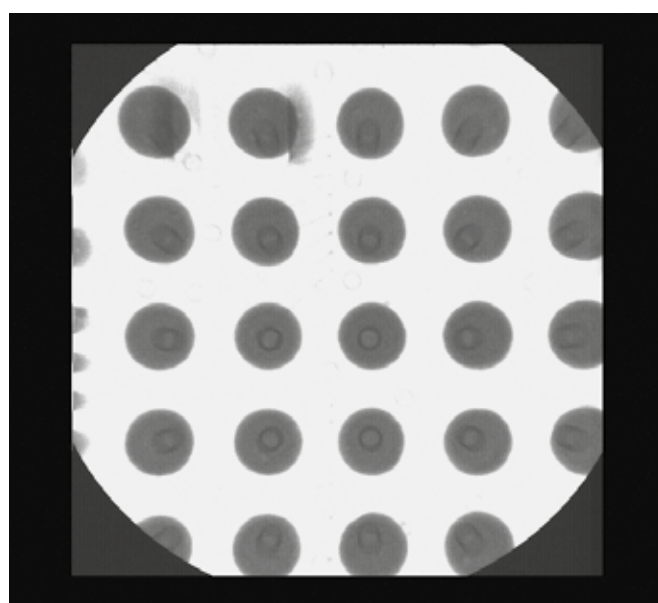


Рис. 7. Рентгеновский снимок контактов после обработки в вакуумном модуле

ИМС и ППП устойчивые к СВВФ

ИМС СОЗУ (информационная емкость 4Кбит + 16Мбит)

Разрядность входных/выходных данных

1, 4, 8 бит	16 бит	32 бита
серия 537	1669РА025	1669РА015
серия 541РУ	9000РУ1У	9000РУ3У
серия 1635РУ	9000РУ4У	9000РУ4У
серия 1642	9000РУ6У	9000РУ5У
1666РЕ014		
9000РУ2У		

ИМС ПЗУ (информационная емкость 4Кбит + 4Мбит)

Однократно программируемые	Многократно программируемые
Серия 541РТ	1644РС1ТБМ/ АТБМ
Серия 1623РТ	1644РС2Т
Серия 1632РТ	
Серия 1635РТ	
1675РТ014, 1676РТ015	
1835РЕ2Т	
9001РТ1У	

ИМС управления питанием

Регуляторы напряжения

Линейные	Линейные LDO	Импульсные
Серия 1244	Серия 1325	1326ПН1Т/ Т1
Серия 1253	Серия 1344	1326ПН2Т/ Т1
Серия 1343	Серия 1264	1326ПН3Т/ Т1
1252ЕР1Т	5318ЕР015	5326НН014
1342ЕН5Т	5323ЕР014	
1349ЕГ1У	5324ЕР015	

Источники опорного напряжения	Супервизоры питания	Драйвера управления полевыми транзисторами
142ЕР1УИМ/ ТИМ	5318АЛ1ТБМ	5325ЮХ014
142ЕР2УИМ	Серия 1345 (12 типономиналов)	5325ЮХ024
1369ЕС014	Серия 5322 (8 типономиналов)	1114ЕУ7УИМ
1369ЕС01A4		1114ЕУ8УИМ
1369ЕС01B4		1114ЕУ9УИМ
1369ЕС024		1114ЕУ10УИМ



Интерфейсные ИМС

стандарты	манчестерский код	стандарт LVDS
RS485/422, EIA/TIA232	5559ИН67Т	5560ИН1Т
5559ИН1Т	5559ИН68Т	5560ИН2Т
5559ИН2Т	5559ИН73Т	5560ИН3У
5559ИН3ТБМ	5559ИН74Т	5560ИН4У
5559ИН5ТБМ	5559ИН83У	5560ИН5У
5559ИН17Т/ 18Т		5560ИН6У
5559ИН20Т/ 21Т		5560ПЛ1У
5559ИН84Т/ 85Т		

Микроконтроллеры и микропроцессоры

архитектура и система команд MCS-51	RISC - архитектура
1880ВЕ31У/ Р	1881ВГ4У
1880ВЕ51У/ Р	1881ВЕ2Т
1880ВЕ1У	
1880ВЕ81У	

Цифровые потенциометры

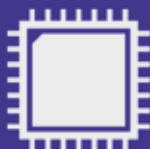
одноканальные	двухканальные	четырехканальные
1315ПТ11Т	1315ПТ12Т	1315ПТ14Т
1315ПТ21Т	1315ПТ22Т	1315ПТ24Т
1315ПТ31Т	1315ПТ32Т	1315ПТ34Т
1315ПТ41Т	1315ПТ42Т	1315ПТ44Т

Дискретные полупроводниковые приборы, устойчивые к СВВФ

биполярные	полевые
п-р-п транзисторы	мощные N-канальные
р-п-р транзисторы	мощные Р-канальные
п-р-п транзисторы Дарлингтона	маломощные N- и Р-канальные
п-р-п транзисторы СВЧ	

Диоды

с барьером Шоттки	импульсные
	импульсные диодные сборки



ИМС устойчивые к СВВФ

Разработка и освоение ИМС

Интерфейсные

ОКР «Магистраль 51»	ОКР «Магистраль 388»
5560ИН7У (аналог SN65LVDS050)	5560ИН15У (аналог SN65LVDS388)
5560ИН8У (аналог SN65LVDT050)	5560ИН16У (аналог SN65LVDS389)
5560ИН9У (аналог SN65LVDS051)	5560ИН17Т (аналог SN65LVDS390)
5560ИН10У (аналог SN65LVDT051)	5560ИН18Т (аналог SN65LVDS391)
5560ИН11У (аналог SN65LVDS179)	ОКР «Каскад С»
5560ИН12У (аналог SN65LVDT179)	5559ИН83У (аналог HI-1575)
5560ИН13У (аналог SN65LVDS180)	ОКР «Дельта 164245»
5560ИН14У (аналог SN65LVDT180)	5584ИН2У

Операционные усилители
ОКР «Дуга 820»
1467УД4У (аналог AD820)
1467УД5Т (аналог AD822)
1467УД6Т (аналог AD823)
1467УД7Т (аналог AD824)
ОКР «Дуга 249»
1467УД8Т (аналог OP249)

Таймер
ОКР «Таймер» * (аналог LMC555)

LED-драйвера
ОКР «Драйвер 1366» * (аналог ZXLD1366)
ОКР «Драйвер 3518» * (аналог LT3518)

Цифро-аналоговый преобразователь
ОКР «Дельта 5324»* (аналог AD5324ARM) – 12-разрядный четырехканальный

* - в разработке

Управление питанием
ОКР «Дот 158»
5317ЕС015 (аналог AD1582)
5317ЕС025 (аналог AD1583)
5317ЕС035 (аналог AD1584)
5317ЕС045 (аналог AD1585)
ОКР «Дедукция 340» *
(аналог MP2307)

Цифровая логика
ОКР «Дакота 125» * (аналог SN74LVC1G125)
ОКР «Инвертор» * (аналог NC7WZU04)

Датчики температуры
ОКР «Дюна 17215» * (аналог DS1721)
ОКР «Дюна 60» * (аналог LM60C1Z)
ОКР «Датчик 112» * (аналог TMP112AIDRL)



Операционные усилители

одноканальные	двухканальные	четырехканальные
1467УД3У	1467УД1Т	1467УД2Т/Р
1467УД4У	1467УД5Т	1467УД7Т
1467УБ1У	1467УД6Т	
1473УД1Т/АТ	1467УД8Т	

Компараторы напряжения

одноканальные	двухканальные	четырехканальные
1467СА4ТБМ	1467СА1Т	1467СА2Р 1467СА3ТБМ

Цифровые датчики температуры

однопроводной интерфейс	трехпроводной интерфейс
5019ЧТ2Т (аналог м/c DS18B20)	5019ЧТ1Т (аналог м/c DS1620)

Аналого-цифровой преобразователь
5115HB015 (аналог м/c TLV2548M) – 12-разрядный восьми-канальный АЦП с SPI интерфейсом с архитектурой последовательного приближения

Цифровые логические ИМС

биполярная (ТТЛ, ТТЛШ) (аналоги м/c серии SN54x); серия 136	КМОП серии 1554 (аналоги м/c серии SN54AC); серия 1564
(аналоги м/c серии SN54L); серия 1533 (аналоги м/c серии SN54ALS)	(аналоги м/c серии SN54HC); серия 1594 (аналоги м/c серии SN54ACT); серия 5584 (аналоги м/c серии 74VHC)